

## PROPRIEDADES ÓPTICAS DE FILMES FINOS FILMES MONOCAMADA

Luz atravessa a interface de separação dos dois meios conforme mostra a Fig. 6.4.

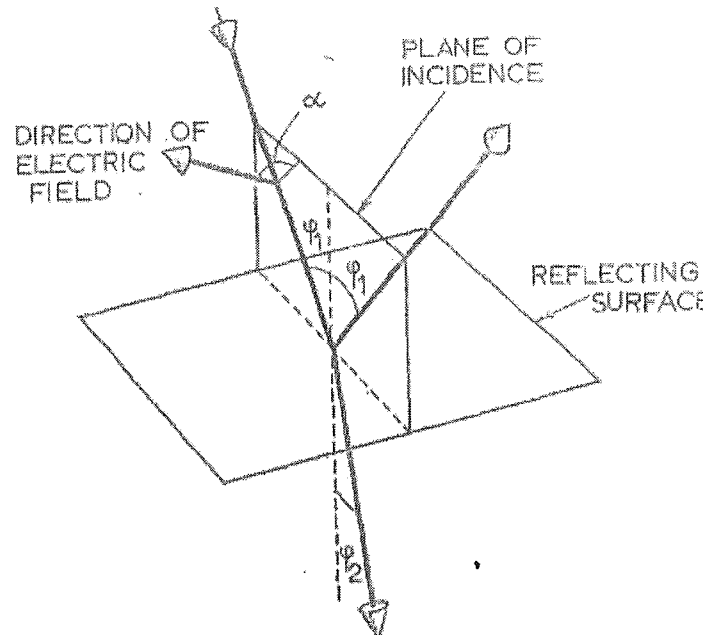


Fig. 6.4.

Para incidência normal

*Coeficiente de reflexão*

$$r = (n_1 - n_2) / (n_1 + n_2)$$

*Coeficiente de transmissão*

$$t = 2 n_1 / (n_1 + n_2)$$

*Refletância da superfície*

$$R = [(n_1 - n_2) / (n_1 + n_2)]^2$$

*Transmittância através da superfície*

$$T = (n_2 / n_1) t^2 = 4 n_1 n_2 / (n_1 + n_2)^2$$

Na interface ar-vidro ( $n_0 = 1$ ,  $n_1 = 1,5$ ),  $R = 0,04$ , i. e. 4% da luz incidente é refletida.

## PROPRIEDADES ÓPTICAS DE FILMES FINOS FILMES MONOCAMADA

Para um filme fino de espessura  $D_1$  sobre vidro, e incidência não-normal (Fig. 6.6), temos que considerar *interferência da luz*. Teremos

(Fig 6.6 p 95 L-C)

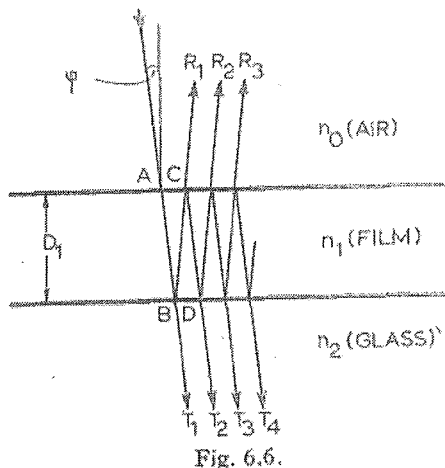


Fig. 6.6.

Teremos, neste caso, para  $R$  e  $T$ ,

(Eqs 6.3a e 6.3b L-C)

$$R = \frac{r_1^2 + r_2^2 + 2r_1r_2 \cos \frac{2\pi(AB + BC)}{\lambda_1}}{1 + r_1^2r_2^2 + 2r_1r_2 \cos \frac{2\pi(AB + BC)}{\lambda_1}}$$

$$T = \frac{t_1^2t_2^2}{1 + r_1^2r_2^2 + 2r_1r_2 \cos \frac{2\pi(AB + BC)}{\lambda_1}}$$

$r_1, r_2, t_1$  e  $t_2$  = coeficientes de reflexão e de transmissão nas interfaces superior e inferior.

$\lambda_1$  = comprimento de onda da luz no filme.

## PROPRIEDADES ÓPTICAS DE FILMES FINOS FILMES MONOCAMADA

Para incidência normal,  $n_0 = 1$  (ar), R e T ficam

$$R = \frac{(n_2^2 + n_1^2)(1 + n_1^2) - 4n_2n_1^2 + (n_2^2 - n_1^2)(n_1^2 - 1) \cos \frac{4\pi D_1}{\lambda_1}}{(n_2^2 + n_1^2)(1 + n_1^2) + 4n_2n_1^2 + (n_2^2 - n_1^2)(n_1^2 - 1) \cos \frac{4\pi D_1}{\lambda_1}} \quad (6.4 \text{ a})$$

$$T = \frac{8\pi n_1^2}{(n_2^2 + n_1^2)(1 + n_1^2) + 4n_2n_1^2 + (n_2^2 - n_1^2)(n_1^2 - 1) \cos \frac{4\pi D_1}{\lambda_1}} \quad (6.4 \text{ b})$$

O gráfico da Fig. 6.7 é uma aplicação da equação acima para um filme depositado em vidro ( $n_2 = 1,5$ ). Diversos valores do índice de refração do filme estão lançados como parâmetro.

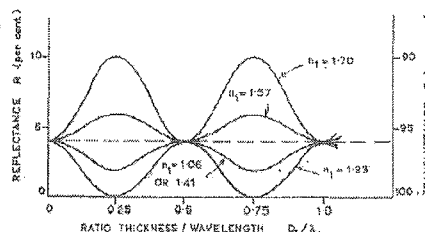


Fig. 6.7. Reflectance of a thin film coating on glass.

Sobre o gráfico acima:

- Se  $D_1 = N\lambda / 2$  com  $N = 1, 2, 3, \dots$ , R e T são as mesmas que aquelas do substrato (vidro,  $n = 1,5$ , refletância de 4%).
- Para  $D_1 = N\lambda_1/4$  com  $N = 1, 3, 5, \dots$  as mudanças de R e T são significativas.
- Para  $n_1 = 1,23$ , na condição B acima, a refletância é zero o que implica numa transmitância de 100%. ( $R + T = 1$  para um filme não absorvedor).

Questões interessantes relacionadas à Eq. 6.4a.

- Para refletância zero num filme de quarto de onda, qual a relação entre  $n_1$  e  $n_2$ ? (Considerando sempre  $n_0 = 1$ ).
- Para um determinado par de valores  $(n_1, n_2)$  e  $n_0 = 1$ , qual a expressão que relaciona  $D_1$  com o comprimento de onda  $\lambda_0$  em vácuo para um filme de quarto de onda tal que  $R = 0$ .
- Se quisermos  $R = 0$  para o comprimento de onda no vácuo de 500 nm (aproximadamente o centro do espectro visível), qual a espessura do filme para  $n_1 = 1,23$  e  $n_2 = 1,5$ ?

$$R = \frac{(n_2^2 + n_1^2)(1 + n_1^2) - 4n_2n_1^2 + (n_2^2 - n_1^2)(n_1^2 - 1) \cos \frac{4\pi D_1}{\lambda_1}}{(n_2^2 + n_1^2)(1 + n_1^2) + 4n_2n_1^2 + (n_2^2 - n_1^2)(n_1^2 - 1) \cos \frac{4\pi D_1}{\lambda_1}} \quad (6.4 a)$$

$$T = \frac{8n_2n_1^2}{(n_2^2 + n_1^2)(1 + n_1^2) + 4n_2n_1^2 + (n_2^2 - n_1^2)(n_1^2 - 1) \cos \frac{4\pi D_1}{\lambda_1}} \quad (6.4 b)$$

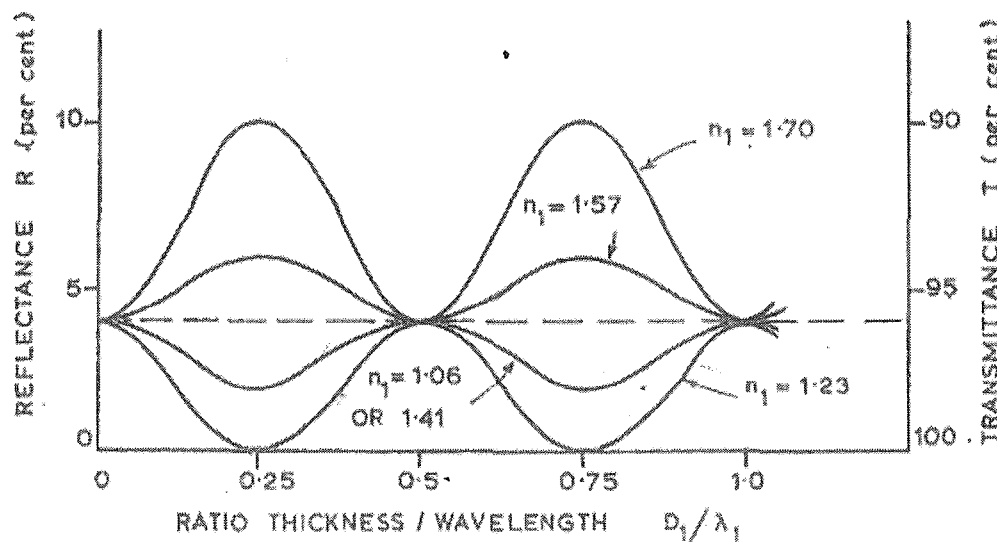


Fig. 6.7. Reflectance of a thin film coating on glass.

## PROPRIEDADES ÓPTICAS DE FILMES FINOS FILMES MULTICAMADA

Possivelmente, a mais importante aplicação de filmes finos em instrumentos ópticos é em camadas anti-refletoras. A mais baixa refletância de uma monocamada que se consegue em vidro crown é de 1,3%. Além disso, tal refletância é limitada a comprimentos de onda muito estreitos.

Com filmes de duas camadas essas dificuldades podem ser melhoradas e mais ainda com filmes de diversas camadas.

Um filme de duas camadas é representado na Fig. 6.8.

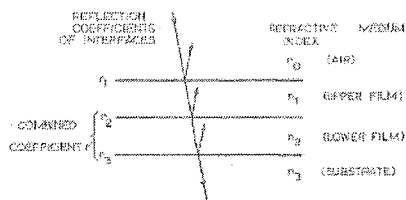


Fig. 6.8. A two-layer coating and its reflection coefficients.

A expressão para R desse sistema é complexa, mas como o interesse é para  $R = 0$ , apenas o par de equações abaixo é colocado.

$$\left. \begin{aligned} \tan^2 \delta_1 &= \frac{n_1^2(n_3 - n_0)(n_2^2 - n_0 n_3)}{(n_1^2 n_3 - n_2^2 n_0)(n_0 n_3 - n_1^2)}, \\ \tan^2 \delta_2 &= \frac{n_2^2(n_3 - n_0)(n_0 n_3 - n_1^2)}{(n_2^2 n_3 - n_1^2 n_0)(n_0^2 - n_0 n_3)}. \end{aligned} \right\}$$

Nessas equações,  $\delta_1 = 2\pi n_1 D_1 / \lambda$  e  $\delta_2 = 2\pi n_2 D_2 / \lambda$ .

Se  $\delta_1 = \pi/2$  e  $\delta_2 = \pi$ , as espessuras da primeira e segunda camada serão de um quarto e meio comprimentos de onda no vácuo. Empregando-se  $n_0 = 1$  (ar),  $n_1 = 1,38$  ( $MgF_2$ ),  $n_2 = 1,85$  ( $SiO$ ) e  $n_3 = 1,51$  (vidro crown) e  $\delta_1 = \pi/2$  e  $\delta_2 = \pi$ , a curva resultante está representada na Fig. 6.10, juntamente com as curvas para uma e três camadas. A refletância para o filme bicamada é efetivamente zero em duas faixas de comprimentos de onda relativamente estreitos. Mas o de três camadas apresenta  $R=0$  numa faixa bem mais larga.

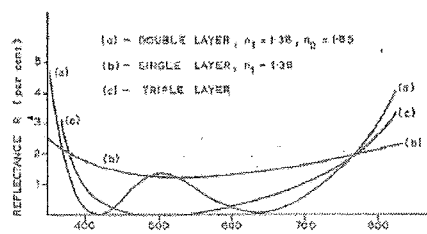


Fig. 6.10. Theoretical plots of reflectance  $R$  against wave-length.

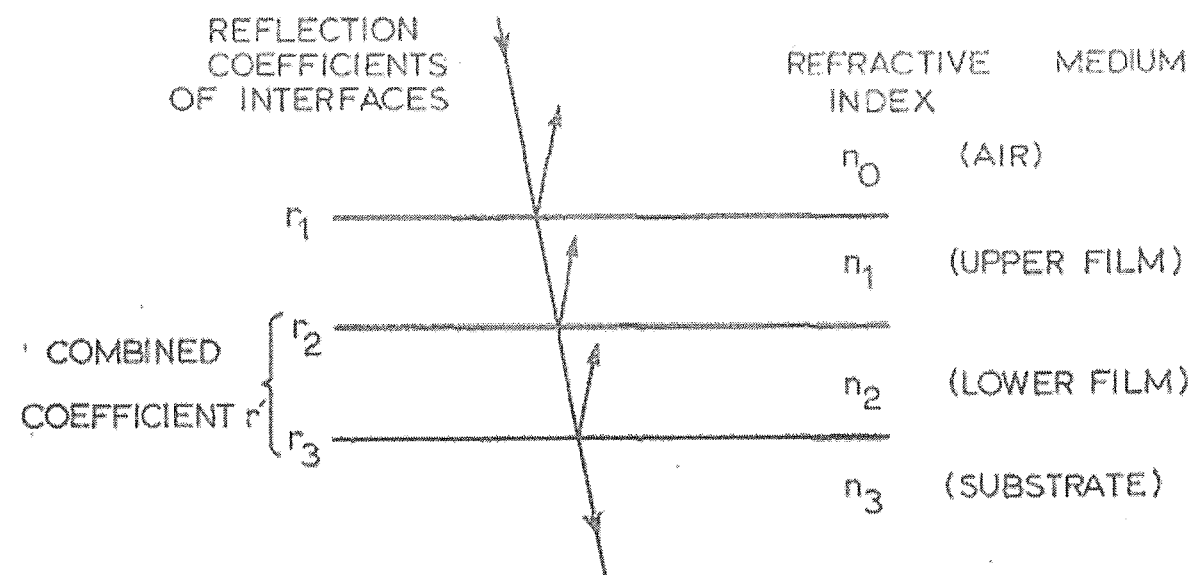


Fig. 6.8. A two-layer coating and its reflection coefficients.

$$\tan^2 \delta_1 = \left. \frac{n_1^2(n_3 - n_0)(n_2^2 - n_0 n_3)}{(n_1^2 n_3 - n_2^2 n_0)(n_0 n_3 - n_1^2)} \right\}$$

$$\tan^2 \delta_2 = \left. \frac{n_2^2(n_3 - n_0)(n_0 n_3 - n_1^2)}{(n_1^2 n_3 - n_2^2 n_0)(n_2^2 - n_0 n_3)} \right\}$$

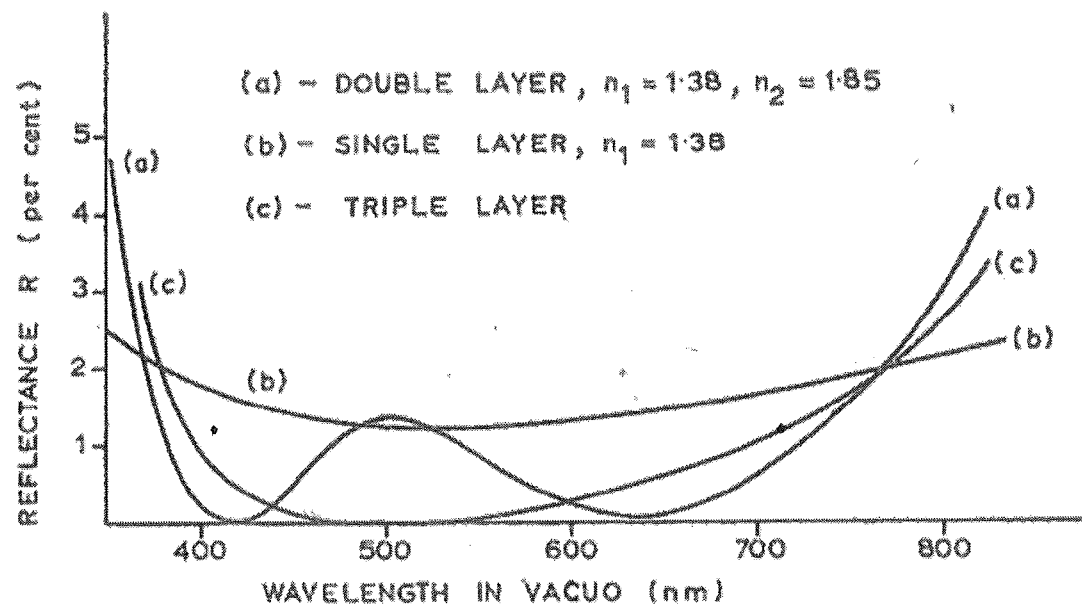


Fig. 6.10. Theoretical plots of reflectance  $R$  against wave-length.

## PROPRIEDADES ÓPTICAS DE FILMES FINOS DETERMINAÇÃO DE ESPESSURA – MÉTODO DE TOLANSKY

Com o sistema óptico da Fig. 4, a espessura de um filme pode ser medida. O sistema baseia-se na geração de um interferograma de *franjas de Fizeau*.

Franjas de Fizeau são geradas por luz monocromática quando se coloca em contato duas placas de vidro opticamente planas formando uma cunha de pequeníssimo ângulo. A distância  $t$  entre as duas placas varia e o espaçamento entre franjas corresponde a uma diferença de  $\lambda/2$  onde  $\lambda$  é o comprimento de onda da luz.

No sistema da figura, uma das placas é de vidro semi-transparente e na outra é coberta com o filme a medir. Uma máscara é usada na deposição de modo a produzir um degrau, ou um canal cuja altura é a espessura do filme.

Com um ajuste cuidadoso do ângulo entre as placas, o interferograma AAB'B é observado no microscópio. Um cursor (não mostrado) integrado ao sistema mede as distâncias no interferograma possibilitando a determinação da espessura do filme,  $D$ , pela relação  $D = (x/d) \lambda/2$  onde  $x$  e  $d$  são especificados no desenho ao lado da Fig. 4.

(Fig 4 e franjas)

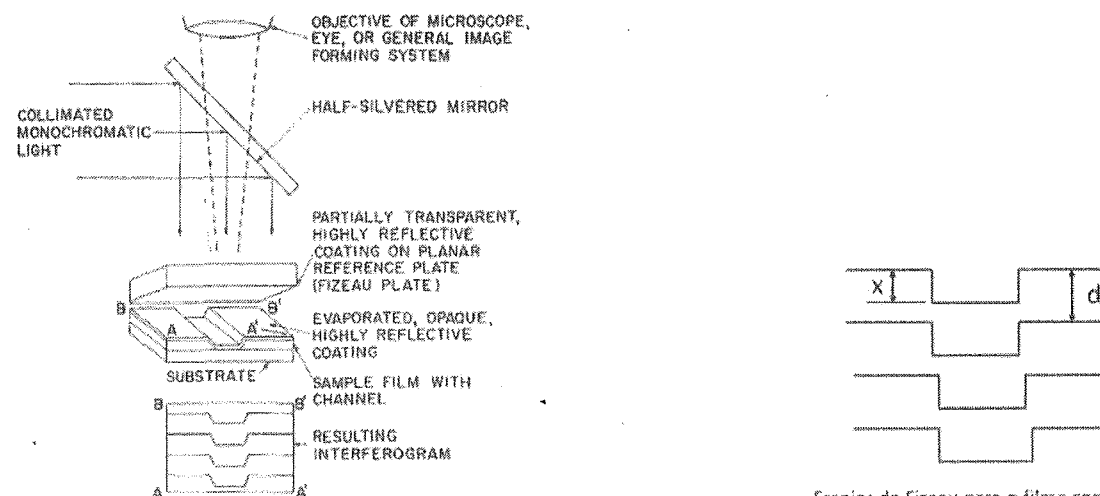


Fig. 4 Schematic view of apparatus for producing multiple-beam Fizeau fringes (Tolansky technique).

Franjas de Fizeau para o filme com degrau

## PROPRIEDADES ÓPTICAS DE FILMES FINOS DETERMINAÇÃO DE ESPESSURA – MÉTODO DE TOLANSKY

A figura da esquerda é um esquema de um sistema de sputtering em que é medida a espessura de um filme de  $\text{SiO}_2$  durante seu crescimento

$$d = \frac{N\lambda}{2n_f \cos \theta_f} + \Delta t_\phi + \Delta t_r$$

where  $N = \frac{1}{2}, \frac{3}{2}, \frac{5}{2}, \dots$  for interference minima, or  $N = 0, 1, 2, 3$ , for maxima (see Fig. 57)

$n_f$  = refractive index of film material (1.470 for sputtered  $\text{SiO}_2$ )

$\theta_f$  = angle of refraction in the film

$\Delta t_\phi$  = phase-shift correction

$\Delta t_r$  = reflectivity correction

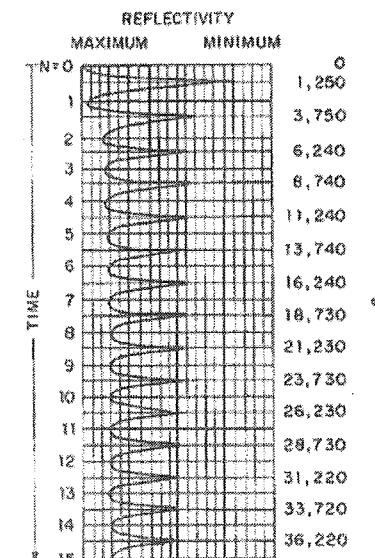
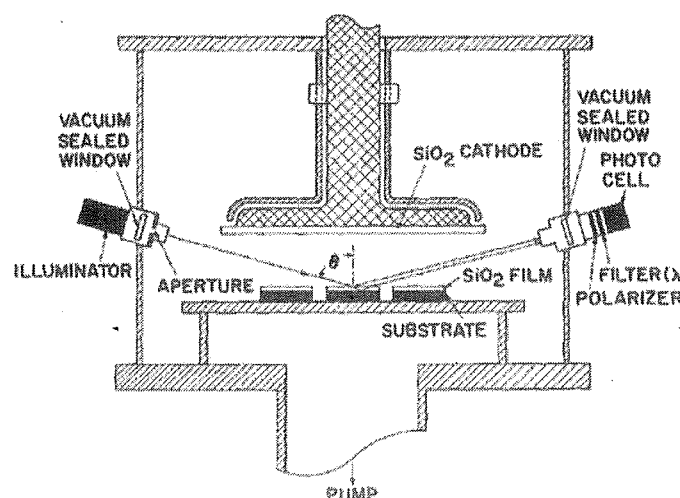


Fig. 57 Recorder trace of optical-thickness monitor shown in Fig. 56 for the deposition of RF sputtered  $\text{SiO}_2$  on silicon ( $\lambda = 5,500 \text{ \AA}$ ;  $\theta = 79^\circ$ ).